

$^{139}\text{La}(^{29}\text{Si},4n\gamma)$  **1999To08**

Type	Author	History	Citation	Literature Cutoff Date
Full Evaluation	Balraj Singh and Jun Chen <sup>#</sup>		NDS 147, 1 (2018)	30-Nov-2017

## Additional information 1.

**1999To08** (also **1998To28,2002Sc11**): E=145 MeV. Measured  $E\gamma$ ,  $I\gamma$ ,  $\gamma\gamma$ ,  $\gamma\gamma(\theta)$ (DCO) using Euroball detector array consisting of 13 clusters, 25 clovers and 28 single element tapered detectors. Deduced triaxial SD bands. Lifetime measurements by **2002Sc11** were used to deduce Q(transition) for SD-1 band.

Theory (band structure): **1999Do09**.

 $^{164}\text{Lu}$  Levels

E(level) <sup>†</sup>	J $\pi^{\ddagger}$	E(level) <sup>†</sup>	J $\pi^{\ddagger}$	E(level) <sup>†</sup>	J $\pi^{\ddagger}$	E(level) <sup>†</sup>	J $\pi^{\ddagger}$
0+x <sup>#</sup>	8 <sup>+</sup>	3443.7+x <sup>b</sup>	20 <sup>-</sup>	8206.9+x <sup>&amp;</sup>	34 <sup>-</sup>	633+z <sup>e</sup>	J1+2
19.9+x <sup>&amp;</sup>	8 <sup>-</sup>	3520.4+x <sup>#</sup>	22 <sup>+</sup>	8306+x <sup>d</sup>	33 <sup>+</sup>	1324+z <sup>e</sup>	J1+4
101.9+x <sup>a</sup>	9 <sup>-</sup>	3661.7+x <sup>a</sup>	23 <sup>-</sup>	8568+x <sup>b</sup>	34 <sup>-</sup>	2071+z <sup>e</sup>	J1+6
104.1+x <sup>@</sup>	9 <sup>+</sup>	3819+x <sup>d</sup>	21 <sup>+</sup>	8806.7+x <sup>a</sup>	35 <sup>-</sup>	2874+z <sup>e</sup>	J1+8
174.9+x <sup>&amp;</sup>	10 <sup>-</sup>	3837.3+x <sup>@</sup>	23 <sup>+</sup>	9096+x <sup>@</sup>	35 <sup>+</sup>	3733+z <sup>e</sup>	J1+10
244.9+x <sup>#</sup>	10 <sup>+</sup>	3981.8+x <sup>&amp;</sup>	24 <sup>-</sup>	9241.8+x <sup>&amp;</sup>	36 <sup>-</sup>	4646+z <sup>e</sup>	J1+12
268.1+x <sup>a</sup>	11 <sup>-</sup>	4001.7+x <sup>b</sup>	22 <sup>-</sup>	9246+x <sup>d</sup>	35 <sup>+</sup>	5612+z <sup>e</sup>	J1+14
413.6+x <sup>@</sup>	11 <sup>+</sup>	4184.9+x <sup>#</sup>	24 <sup>+</sup>	9532+x <sup>b</sup>	36 <sup>-</sup>	6617+z <sup>e</sup>	J1+16
433.8+x <sup>&amp;</sup>	12 <sup>-</sup>	4370.7+x <sup>a</sup>	25 <sup>-</sup>	9911+x <sup>a</sup>	37 <sup>-</sup>	u <sup>f</sup>	J2
595.5+x <sup>a</sup>	13 <sup>-</sup>	4425+x <sup>d</sup>	23 <sup>+</sup>	10241+x <sup>d</sup>	37 <sup>+</sup>	546.0+u <sup>f</sup>	J2+2
623.7+x <sup>#</sup>	12 <sup>+</sup>	4539.3+x <sup>@</sup>	25 <sup>+</sup>	10330+x <sup>&amp;</sup>	38 <sup>-</sup>	1151+u <sup>f</sup>	J2+4
832.6+x <sup>&amp;</sup>	14 <sup>-</sup>	4617.7+x <sup>b</sup>	24 <sup>-</sup>	10556+x <sup>b</sup>	38 <sup>-</sup>	1815+u <sup>f</sup>	J2+6
848.7+x <sup>@</sup>	13 <sup>+</sup>	4704.8+x <sup>&amp;</sup>	26 <sup>-</sup>	11073+x <sup>a</sup>	39 <sup>-</sup>	2542+u <sup>f</sup>	J2+8
1058.6+x <sup>a</sup>	15 <sup>-</sup>	4922.5+x <sup>#</sup>	26 <sup>+</sup>	11291+x <sup>d</sup>	39 <sup>+</sup>	3328+u <sup>f</sup>	J2+10
1115.6+x <sup>#</sup>	14 <sup>+</sup>	5090+x <sup>d</sup>	25 <sup>+</sup>	11454+x <sup>&amp;</sup>	40 <sup>-</sup>	4174+u <sup>f</sup>	J2+12
1343.5+x <sup>&amp;</sup>	16 <sup>-</sup>	5118.6+x <sup>a</sup>	27 <sup>-</sup>	11638+x <sup>b</sup>	40 <sup>-</sup>	5080+u <sup>f</sup>	J2+14
1382.8+x <sup>@</sup>	15 <sup>+</sup>	5293+x <sup>b</sup>	26 <sup>-</sup>	12260+x <sup>a</sup>	(41 <sup>-</sup> )	6045+u <sup>f</sup>	J2+16
1627.9+x <sup>a</sup>	17 <sup>-</sup>	5317.4+x <sup>@</sup>	27 <sup>+</sup>	12395+x <sup>d</sup>	41 <sup>+</sup>	7068+u <sup>f</sup>	J2+18
1690.2+x <sup>#</sup>	16 <sup>+</sup>	5480.2+x <sup>&amp;</sup>	28 <sup>-</sup>	12773+x <sup>b</sup>	42 <sup>-</sup>	8150+u <sup>f</sup>	J2+20
1940.7+x <sup>&amp;</sup>	18 <sup>-</sup>	5755.5+x <sup>#</sup>	28 <sup>+</sup>	13555+x <sup>d</sup>	43 <sup>+</sup>	9284+u <sup>f</sup>	J2+22
1989.0+x <sup>@</sup>	17 <sup>+</sup>	5811+x <sup>d</sup>	27 <sup>+</sup>	14766+x <sup>d</sup>	45 <sup>+</sup>	v <sup>g</sup>	J3
2010.6+x <sup>d</sup>	13 <sup>+</sup>	5929.5+x <sup>a</sup>	29 <sup>-</sup>	y <sup>c</sup>	J	511+v <sup>g</sup>	J3+2
2136+x <sup>b</sup>	14 <sup>-</sup>	6026+x <sup>b</sup>	28 <sup>-</sup>	537+y <sup>c</sup>	J+2	1080+v <sup>g</sup>	J3+4
2272.8+x <sup>a</sup>	19 <sup>-</sup>	6196.4+x <sup>@</sup>	29 <sup>+</sup>	1137+y <sup>c</sup>	J+4	1708+v <sup>g</sup>	J3+6
2315.0+x <sup>#</sup>	18 <sup>+</sup>	6321.0+x <sup>&amp;</sup>	30 <sup>-</sup>	1785+y <sup>c</sup>	J+6	2393+v <sup>g</sup>	J3+8
2364.6+x <sup>d</sup>	15 <sup>+</sup>	6588+x <sup>d</sup>	29 <sup>+</sup>	2490+y <sup>c</sup>	J+8	3134+v <sup>g</sup>	J3+10
2510.7+x <sup>b</sup>	16 <sup>-</sup>	6677.5+x <sup>#</sup>	30 <sup>+</sup>	3254+y <sup>c</sup>	J+10	3928+v <sup>g</sup>	J3+12
2597.7+x <sup>&amp;</sup>	20 <sup>-</sup>	6813.4+x <sup>a</sup>	31 <sup>-</sup>	4077+y <sup>c</sup>	J+12	4775+v <sup>g</sup>	J3+14
2622.1+x <sup>@</sup>	19 <sup>+</sup>	6816+x <sup>b</sup>	30 <sup>-</sup>	4959+y <sup>c</sup>	J+14	5676+v <sup>g</sup>	J3+16
2787.6+x <sup>d</sup>	17 <sup>+</sup>	7155.4+x <sup>@</sup>	31 <sup>+</sup>	5896+y <sup>c</sup>	J+16	6632+v <sup>g</sup>	J3+18
2919.8+x <sup>#</sup>	20 <sup>+</sup>	7231.7+x <sup>&amp;</sup>	32 <sup>-</sup>	6887+y <sup>c</sup>	J+18	7643+v <sup>g</sup>	J3+20
2946.7+x <sup>b</sup>	18 <sup>-</sup>	7420+x <sup>d</sup>	31 <sup>+</sup>	7929+y <sup>c</sup>	J+20	8713+v <sup>g</sup>	J3+22
2961.7+x <sup>a</sup>	21 <sup>-</sup>	7654+x <sup>#</sup>	32 <sup>+</sup>	9018+y <sup>c</sup>	J+22	w <sup>h</sup>	J4
3208.7+x <sup>@</sup>	21 <sup>+</sup>	7663+x <sup>b</sup>	32 <sup>-</sup>	10152+y <sup>c</sup>	J+24	752+w <sup>h</sup>	J4+2
3271.6+x <sup>d</sup>	19 <sup>+</sup>	7773.4+x <sup>a</sup>	33 <sup>-</sup>	11323+y <sup>c</sup>	J+26	1563+w <sup>h</sup>	J4+4
3284.7+x <sup>&amp;</sup>	22 <sup>-</sup>	8106+x <sup>@</sup>	33 <sup>+</sup>	z <sup>e</sup>	J1	2429+w <sup>h</sup>	J4+6

Continued on next page (footnotes at end of table)

<sup>139</sup>La(<sup>29</sup>Si,4n $\gamma$ ) **1999To08 (continued)**

<sup>164</sup>Lu Levels (continued)

<u>E(level)<sup>†</sup></u>	<u>J<math>\pi</math><sup>‡</sup></u>	<u>E(level)<sup>†</sup></u>	<u>J<math>\pi</math><sup>‡</sup></u>	<u>E(level)<sup>†</sup></u>	<u>J<math>\pi</math><sup>‡</sup></u>
3352+w <sup>h</sup>	J4+8	s <sup>i</sup>	J5	2382+s <sup>i</sup>	J5+6
4332+w <sup>h</sup>	J4+10	732+s <sup>i</sup>	J5+2	3300+s <sup>i</sup>	J5+8
5374+w <sup>h</sup>	J4+12	1526+s <sup>i</sup>	J5+4	4276+s <sup>i</sup>	J5+10

<sup>†</sup> From least-squares fit to E $\gamma$  data. The 0+x, (8<sup>+</sup>) level here corresponds to 25.9+x, (8<sup>+</sup>) in Adopted Levels and level with energy y corresponds to 3719.1+x, (20<sup>+</sup>) in Adopted Levels.

<sup>‡</sup> As given in 1999To08, based on previous assignments for low-lying levels and band structures in the present work.

# Band(A):  $\pi g_{7/2} \otimes v i_{13/2}, \alpha=0$ .

@ Band(a):  $\pi g_{7/2} \otimes v i_{13/2}, \alpha=1$ .

& Band(B):  $\pi h_{11/2} \otimes v i_{13/2}, \alpha=0$ .

a Band(b):  $\pi h_{11/2} \otimes v i_{13/2}, \alpha=1$ .

b Band(C): SD-1 (triaxial) band (1999To08,2002Sc11). Configuration= $\pi i_{13/2} \otimes v h_{9/2}$ . Q(transition)=7.4 +25-13 (2002Sc47), 7.1 +5-6 (2002Sc11, same group as 2002Sc47), from lifetime (DSAM) measurements. Q(transition)(side-feeding)=6.7 7 (2002Sc47).

c Band(D): SD-2 (triaxial) band (1999To08).

d Band(E): SD-3 (triaxial) band (1999To08). Configuration= $\pi i_{13/2} v i_{13/2}$ . Positive parity is assigned based on possible E1 character of 1532 $\gamma$ .

e Band(F): SD-4 (triaxial) band (1999To08).

f Band(G): SD-5 (triaxial) band (1999To08).

g Band(H): SD-6 (triaxial) band (1999To08).

h Band(I): SD-7 (triaxial) band (1999To08).

i Band(J): SD-8 (triaxial) band (1999To08).

$\gamma(^{164}\text{Lu})$

<u>E<math>\gamma</math></u>	<u>E<sub>i</sub>(level)</u>	<u>J<math>\pi</math><sub>i</sub></u>	<u>E<sub>f</sub></u>	<u>J<math>\pi</math><sub>f</sub></u>	<u>E<math>\gamma</math></u>	<u>E<sub>i</sub>(level)</u>	<u>J<math>\pi</math><sub>i</sub></u>	<u>E<sub>f</sub></u>	<u>J<math>\pi</math><sub>f</sub></u>
73	174.9+x	10 <sup>-</sup>	101.9+x	9 <sup>-</sup>	309	413.6+x	11 <sup>+</sup>	104.1+x	9 <sup>+</sup>
82	101.9+x	9 <sup>-</sup>	19.9+x	8 <sup>-</sup>	312 <sup>#</sup>	3520.4+x	22 <sup>+</sup>	3208.7+x	21 <sup>+</sup>
93	268.1+x	11 <sup>-</sup>	174.9+x	10 <sup>-</sup>	313	1940.7+x	18 <sup>-</sup>	1627.9+x	17 <sup>-</sup>
104	104.1+x	9 <sup>+</sup>	0+x	8 <sup>+</sup>	318	3837.3+x	23 <sup>+</sup>	3520.4+x	22 <sup>+</sup>
141	244.9+x	10 <sup>+</sup>	104.1+x	9 <sup>+</sup>	320	3981.8+x	24 <sup>-</sup>	3661.7+x	23 <sup>-</sup>
162	595.5+x	13 <sup>-</sup>	433.8+x	12 <sup>-</sup>	323	3284.7+x	22 <sup>-</sup>	2961.7+x	21 <sup>-</sup>
166	433.8+x	12 <sup>-</sup>	268.1+x	11 <sup>-</sup>	325	2597.7+x	20 <sup>-</sup>	2272.8+x	19 <sup>-</sup>
169	413.6+x	11 <sup>+</sup>	244.9+x	10 <sup>+</sup>	326	2315.0+x	18 <sup>+</sup>	1989.0+x	17 <sup>+</sup>
210	623.7+x	12 <sup>+</sup>	413.6+x	11 <sup>+</sup>	327	595.5+x	13 <sup>-</sup>	268.1+x	11 <sup>-</sup>
225	848.7+x	13 <sup>+</sup>	623.7+x	12 <sup>+</sup>	332	2272.8+x	19 <sup>-</sup>	1940.7+x	18 <sup>-</sup>
226	1058.6+x	15 <sup>-</sup>	832.6+x	14 <sup>-</sup>	334	4704.8+x	26 <sup>-</sup>	4370.7+x	25 <sup>-</sup>
237	832.6+x	14 <sup>-</sup>	595.5+x	13 <sup>-</sup>	348 <sup>@</sup>	4184.9+x	24 <sup>+</sup>	3837.3+x	23 <sup>+</sup>
245	244.9+x	10 <sup>+</sup>	0+x	8 <sup>+</sup>	354	2364.6+x	15 <sup>+</sup>	2010.6+x	13 <sup>+</sup>
259	433.8+x	12 <sup>-</sup>	174.9+x	10 <sup>-</sup>	355	4539.3+x	25 <sup>+</sup>	4184.9+x	24 <sup>+</sup>
267	1115.6+x	14 <sup>+</sup>	848.7+x	13 <sup>+</sup>	362	5480.2+x	28 <sup>-</sup>	5118.6+x	27 <sup>-</sup>
267	1382.8+x	15 <sup>+</sup>	1115.6+x	14 <sup>+</sup>	364	2961.7+x	21 <sup>-</sup>	2597.7+x	20 <sup>-</sup>
285	1343.5+x	16 <sup>-</sup>	1058.6+x	15 <sup>-</sup>	374	2510.7+x	16 <sup>-</sup>	2136+x	14 <sup>-</sup>
285	1627.9+x	17 <sup>-</sup>	1343.5+x	16 <sup>-</sup>	377	3661.7+x	23 <sup>-</sup>	3284.7+x	22 <sup>-</sup>
289	3208.7+x	21 <sup>+</sup>	2919.8+x	20 <sup>+</sup>	379	623.7+x	12 <sup>+</sup>	244.9+x	10 <sup>+</sup>
297	2919.8+x	20 <sup>+</sup>	2622.1+x	19 <sup>+</sup>	383	4922.5+x	26 <sup>+</sup>	4539.3+x	25 <sup>+</sup>
299	1989.0+x	17 <sup>+</sup>	1690.2+x	16 <sup>+</sup>	389	4370.7+x	25 <sup>-</sup>	3981.8+x	24 <sup>-</sup>
307	1690.2+x	16 <sup>+</sup>	1382.8+x	15 <sup>+</sup>	391	6321.0+x	30 <sup>-</sup>	5929.5+x	29 <sup>-</sup>
307	2622.1+x	19 <sup>+</sup>	2315.0+x	18 <sup>+</sup>	395	5317.4+x	27 <sup>+</sup>	4922.5+x	26 <sup>+</sup>

Continued on next page (footnotes at end of table)

$^{139}\text{La}(^{29}\text{Si},4n\gamma)$  1999To08 (continued) $\gamma(^{164}\text{Lu})$  (continued)

$E_\gamma$	$E_i(\text{level})$	$J_i^\pi$	$E_f$	$J_f^\pi$	$E_\gamma$	$E_i(\text{level})$	$J_i^\pi$	$E_f$	$J_f^\pi$
399	832.6+x	14 <sup>-</sup>	433.8+x	12 <sup>-</sup>	700	3661.7+x	23 <sup>-</sup>	2961.7+x	21 <sup>-</sup>
414	5118.6+x	27 <sup>-</sup>	4704.8+x	26 <sup>-</sup>	701	4539.3+x	25 <sup>+</sup>	3837.3+x	23 <sup>+</sup>
418	7231.7+x	32 <sup>-</sup>	6813.4+x	31 <sup>-</sup>	705	2490+y	J+8	1785+y	J+6
423	2787.6+x	17 <sup>+</sup>	2364.6+x	15 <sup>+</sup>	709	4370.7+x	25 <sup>-</sup>	3661.7+x	23 <sup>-</sup>
434	8206.9+x	34 <sup>-</sup>	7773.4+x	33 <sup>-</sup>	721	5811+x	27 <sup>+</sup>	5090+x	25 <sup>+</sup>
435	848.7+x	13 <sup>+</sup>	413.6+x	11 <sup>+</sup>	723	4704.8+x	26 <sup>-</sup>	3981.8+x	24 <sup>-</sup>
435&	9241.8+x	36 <sup>-</sup>	8806.7+x	35 <sup>-</sup>	727	2542+u	J2+8	1815+u	J2+6
436	2946.7+x	18 <sup>-</sup>	2510.7+x	16 <sup>-</sup>	732	732+s	J5+2	s	J5
438	5755.5+x	28 <sup>+</sup>	5317.4+x	27 <sup>+</sup>	733	6026+x	28 <sup>-</sup>	5293+x	26 <sup>-</sup>
449	5929.5+x	29 <sup>-</sup>	5480.2+x	28 <sup>-</sup>	738	4922.5+x	26 <sup>+</sup>	4184.9+x	24 <sup>+</sup>
463	1058.6+x	15 <sup>-</sup>	595.5+x	13 <sup>-</sup>	741	3134+v	J3+10	2393+v	J3+8
484	3271.6+x	19 <sup>+</sup>	2787.6+x	17 <sup>+</sup>	747	2071+z	J1+6	1324+z	J1+4
492	1115.6+x	14 <sup>+</sup>	623.7+x	12 <sup>+</sup>	748	5118.6+x	27 <sup>-</sup>	4370.7+x	25 <sup>-</sup>
492	6813.4+x	31 <sup>-</sup>	6321.0+x	30 <sup>-</sup>	752	752+w	J4+2	w	J4
497	3443.7+x	20 <sup>-</sup>	2946.7+x	18 <sup>-</sup>	764	3254+y	J+10	2490+y	J+8
511	1343.5+x	16 <sup>-</sup>	832.6+x	14 <sup>-</sup>	775	5480.2+x	28 <sup>-</sup>	4704.8+x	26 <sup>-</sup>
511	511+v	J3+2	v	J3	777	6588+x	29 <sup>+</sup>	5811+x	27 <sup>+</sup>
522&	2510.7+x	16 <sup>-</sup>	1989.0+x	17 <sup>+</sup>	778	5317.4+x	27 <sup>+</sup>	4539.3+x	25 <sup>+</sup>
534	1382.8+x	15 <sup>+</sup>	848.7+x	13 <sup>+</sup>	786	3328+u	J2+10	2542+u	J2+8
537	537+y	J+2	y	J	790	6816+x	30 <sup>-</sup>	6026+x	28 <sup>-</sup>
542	7773.4+x	33 <sup>-</sup>	7231.7+x	32 <sup>-</sup>	794	3928+v	J3+12	3134+v	J3+10
546	546.0+u	J2+2	u	J2	794	1526+s	J5+4	732+s	J5+2
547	3819+x	21 <sup>+</sup>	3271.6+x	19 <sup>+</sup>	803	2874+z	J1+8	2071+z	J1+6
558	4001.7+x	22 <sup>-</sup>	3443.7+x	20 <sup>-</sup>	811	5929.5+x	29 <sup>-</sup>	5118.6+x	27 <sup>-</sup>
569	1627.9+x	17 <sup>-</sup>	1058.6+x	15 <sup>-</sup>	811	1563+w	J4+4	752+w	J4+2
569	1080+v	J3+4	511+v	J3+2	820&	2510.7+x	16 <sup>-</sup>	1690.2+x	16 <sup>+</sup>
570&	2510.7+x	16 <sup>-</sup>	1940.7+x	18 <sup>-</sup>	823	4077+y	J+12	3254+y	J+10
575	1690.2+x	16 <sup>+</sup>	1115.6+x	14 <sup>+</sup>	832	7420+x	31 <sup>+</sup>	6588+x	29 <sup>+</sup>
587	3208.7+x	21 <sup>+</sup>	2622.1+x	19 <sup>+</sup>	833	5755.5+x	28 <sup>+</sup>	4922.5+x	26 <sup>+</sup>
597	1940.7+x	18 <sup>-</sup>	1343.5+x	16 <sup>-</sup>	841	6321.0+x	30 <sup>-</sup>	5480.2+x	28 <sup>-</sup>
600	3520.4+x	22 <sup>+</sup>	2919.8+x	20 <sup>+</sup>	846	4174+u	J2+12	3328+u	J2+10
600&	8806.7+x	35 <sup>-</sup>	8206.9+x	34 <sup>-</sup>	847	7663+x	32 <sup>-</sup>	6816+x	30 <sup>-</sup>
600	1137+y	J+4	537+y	J+2	847	4775+v	J3+14	3928+v	J3+12
605	2919.8+x	20 <sup>+</sup>	2315.0+x	18 <sup>+</sup>	856	2382+s	J5+6	1526+s	J5+4
605	1151+u	J2+4	546.0+u	J2+2	859	3733+z	J1+10	2874+z	J1+8
606	1989.0+x	17 <sup>+</sup>	1382.8+x	15 <sup>+</sup>	866	2429+w	J4+6	1563+w	J4+4
606	4425+x	23 <sup>+</sup>	3819+x	21 <sup>+</sup>	879	6196.4+x	29 <sup>+</sup>	5317.4+x	27 <sup>+</sup>
616	4617.7+x	24 <sup>-</sup>	4001.7+x	22 <sup>-</sup>	882	4959+y	J+14	4077+y	J+12
625	2315.0+x	18 <sup>+</sup>	1690.2+x	16 <sup>+</sup>	883&	2510.7+x	16 <sup>-</sup>	1627.9+x	17 <sup>-</sup>
628	3837.3+x	23 <sup>+</sup>	3208.7+x	21 <sup>+</sup>	884	6813.4+x	31 <sup>-</sup>	5929.5+x	29 <sup>-</sup>
628	1708+v	J3+6	1080+v	J3+4	886	8306+x	33 <sup>+</sup>	7420+x	31 <sup>+</sup>
633	2622.1+x	19 <sup>+</sup>	1989.0+x	17 <sup>+</sup>	901	5676+v	J3+16	4775+v	J3+14
633	633+z	J1+2	z	J1	905	8568+x	34 <sup>-</sup>	7663+x	32 <sup>-</sup>
645	2272.8+x	19 <sup>-</sup>	1627.9+x	17 <sup>-</sup>	906	5080+u	J2+14	4174+u	J2+12
648	1785+y	J+6	1137+y	J+4	911	7231.7+x	32 <sup>-</sup>	6321.0+x	30 <sup>-</sup>
657	2597.7+x	20 <sup>-</sup>	1940.7+x	18 <sup>-</sup>	913	4646+z	J1+12	3733+z	J1+10
664	4184.9+x	24 <sup>+</sup>	3520.4+x	22 <sup>+</sup>	918	3300+s	J5+8	2382+s	J5+6
664	1815+u	J2+6	1151+u	J2+4	922	6677.5+x	30 <sup>+</sup>	5755.5+x	28 <sup>+</sup>
665	5090+x	25 <sup>+</sup>	4425+x	23 <sup>+</sup>	923	3352+w	J4+8	2429+w	J4+6
675	5293+x	26 <sup>-</sup>	4617.7+x	24 <sup>-</sup>	937	5896+y	J+16	4959+y	J+14
685	2393+v	J3+8	1708+v	J3+6	940	9246+x	35 <sup>+</sup>	8306+x	33 <sup>+</sup>
687	3284.7+x	22 <sup>-</sup>	2597.7+x	20 <sup>-</sup>	951	8106+x	33 <sup>+</sup>	7155.4+x	31 <sup>+</sup>
689	2961.7+x	21 <sup>-</sup>	2272.8+x	19 <sup>-</sup>	956	6632+v	J3+18	5676+v	J3+16
691	1324+z	J1+4	633+z	J1+2	959	7155.4+x	31 <sup>+</sup>	6196.4+x	29 <sup>+</sup>
697	3981.8+x	24 <sup>-</sup>	3284.7+x	22 <sup>-</sup>	960	7773.4+x	33 <sup>-</sup>	6813.4+x	31 <sup>-</sup>

Continued on next page (footnotes at end of table)

$^{139}\text{La}(^{29}\text{Si},4n\gamma)$  **1999To08** (continued) $\gamma(^{164}\text{Lu})$  (continued)

$E_\gamma$	$E_i(\text{level})$	$J_i^\pi$	$E_f$	$J_f^\pi$	Mult.
964	9532+x	36 <sup>-</sup>	8568+x	34 <sup>-</sup>	
965	6045+u	J2+16	5080+u	J2+14	
966	5612+z	J1+14	4646+z	J1+12	
975	8206.9+x	34 <sup>-</sup>	7231.7+x	32 <sup>-</sup>	
976	4276+s	J5+10	3300+s	J5+8	
977	7654+x	32 <sup>+</sup>	6677.5+x	30 <sup>+</sup>	
980	4332+w	J4+10	3352+w	J4+8	
990	9096+x	35 <sup>+</sup>	8106+x	33 <sup>+</sup>	
991	6887+y	J+18	5896+y	J+16	
995	10241+x	37 <sup>+</sup>	9246+x	35 <sup>+</sup>	
1005	6617+z	J1+16	5612+z	J1+14	
1006	2946.7+x	18 <sup>-</sup>	1940.7+x	18 <sup>-</sup>	
1011	7643+v	J3+20	6632+v	J3+18	
1023	7068+u	J2+18	6045+u	J2+16	
1024	10556+x	38 <sup>-</sup>	9532+x	36 <sup>-</sup>	
1033	8806.7+x	35 <sup>-</sup>	7773.4+x	33 <sup>-</sup>	
1035	9241.8+x	36 <sup>-</sup>	8206.9+x	34 <sup>-</sup>	
1042	7929+y	J+20	6887+y	J+18	
1042	5374+w	J4+12	4332+w	J4+10	
1050	11291+x	39 <sup>+</sup>	10241+x	37 <sup>+</sup>	
1070	8713+v	J3+22	7643+v	J3+20	
1082	11638+x	40 <sup>-</sup>	10556+x	38 <sup>-</sup>	
1082	8150+u	J2+20	7068+u	J2+18	
1088	10330+x	38 <sup>-</sup>	9241.8+x	36 <sup>-</sup>	
1089	9018+y	J+22	7929+y	J+20	
1104	9911+x	37 <sup>-</sup>	8806.7+x	35 <sup>-</sup>	
1104	12395+x	41 <sup>+</sup>	11291+x	39 <sup>+</sup>	
1124	11454+x	40 <sup>-</sup>	10330+x	38 <sup>-</sup>	
1128	2510.7+x	16 <sup>-</sup>	1382.8+x	15 <sup>+</sup>	D <sup>‡</sup>
1134 <sup>&amp;</sup>	10152+y?	J+24	9018+y	J+22	
1134	9284+u	J2+22	8150+u	J2+20	
1135	12773+x	42 <sup>-</sup>	11638+x	40 <sup>-</sup>	
1160	13555+x	43 <sup>+</sup>	12395+x	41 <sup>+</sup>	
1162	11073+x	39 <sup>-</sup>	9911+x	37 <sup>-</sup>	
1167	2510.7+x	16 <sup>-</sup>	1343.5+x	16 <sup>-</sup>	
1171 <sup>&amp;</sup>	11323+y?	J+26	10152+y?	J+24	
1187 <sup>&amp;</sup>	12260+x?	(41 <sup>-</sup> )	11073+x	39 <sup>-</sup>	
1211	14766+x	45 <sup>+</sup>	13555+x	43 <sup>+</sup>	
1452	2510.7+x	16 <sup>-</sup>	1058.6+x	15 <sup>-</sup>	
1532	2364.6+x	15 <sup>+</sup>	832.6+x	14 <sup>-</sup>	D <sup>†</sup>

<sup>†</sup> DCO=0.9 2 is consistent with 0.8 expected for stretched dipole. It is further assumed (by 1999To08) as E1 since such a high energy transition of pure M1 is unlikely.

<sup>‡</sup> DCO=1.0 2 is consistent with 0.8 expected for stretched dipole.

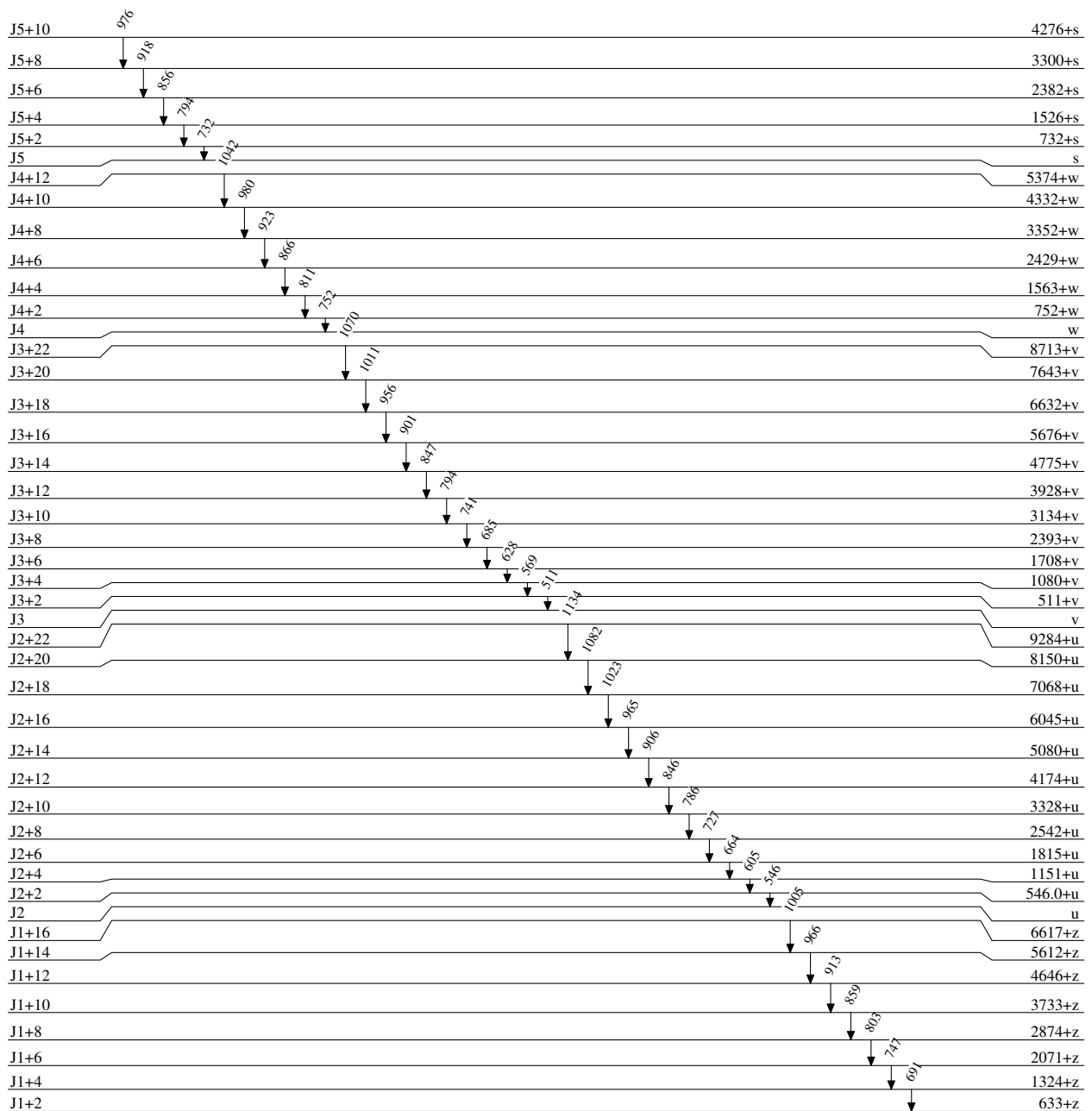
<sup>#</sup> From level-energy difference.  $E_\gamma=346$  given in figure 2 of 1999To08 does not fit the level scheme.

<sup>@</sup> From level-energy difference.  $E_\gamma=383$  given in figure 2 of 1999To08 does not fit the level scheme.

<sup>&</sup> Placement of transition in the level scheme is uncertain.

$^{139}\text{La}(^{29}\text{Si},4n\gamma)$  1999To08

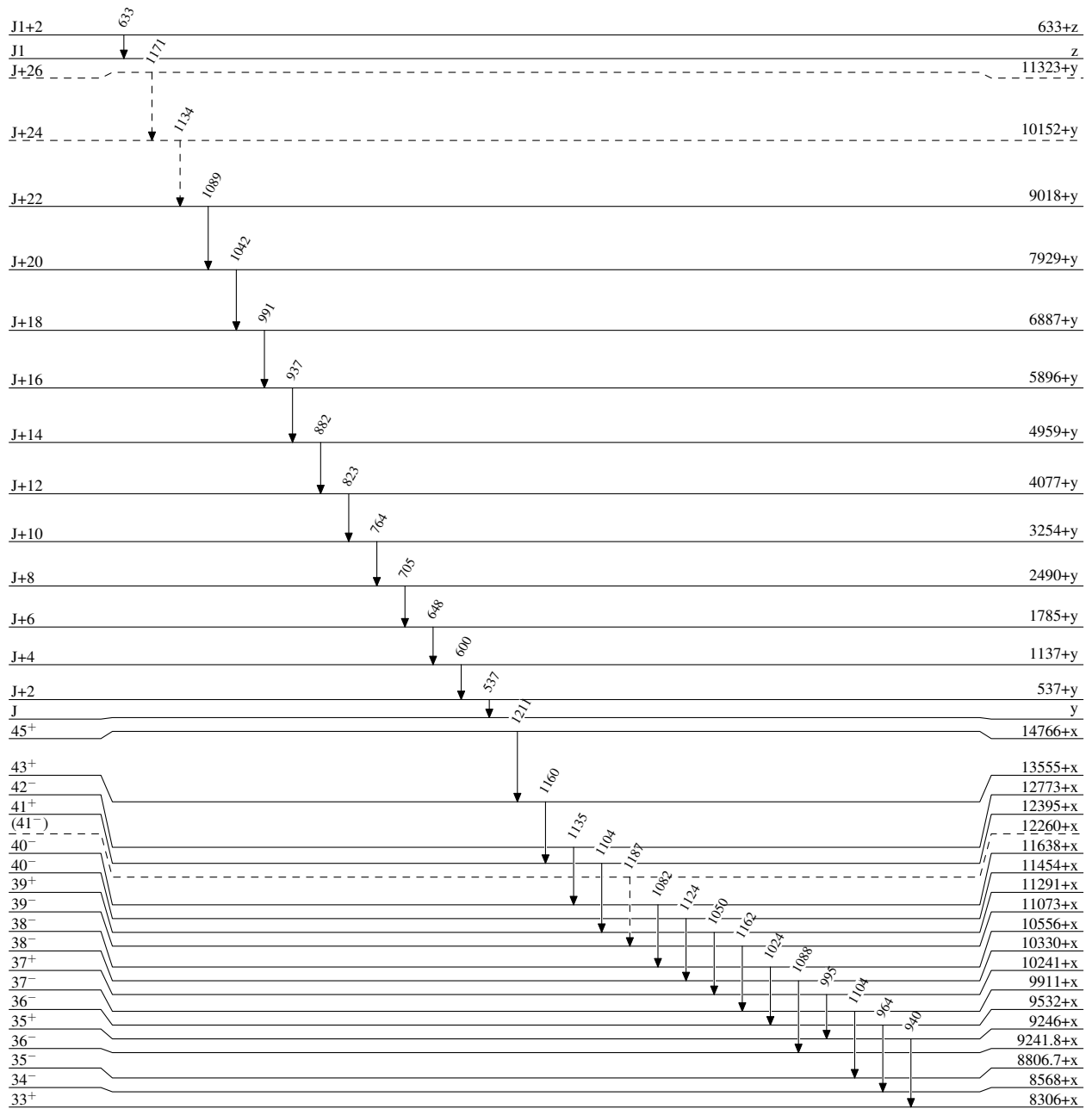
## Level Scheme

 $^{164}_{71}\text{Lu}_{93}$

$^{139}\text{La}(^{29}\text{Si},4n\gamma)$  1999To08

Legend

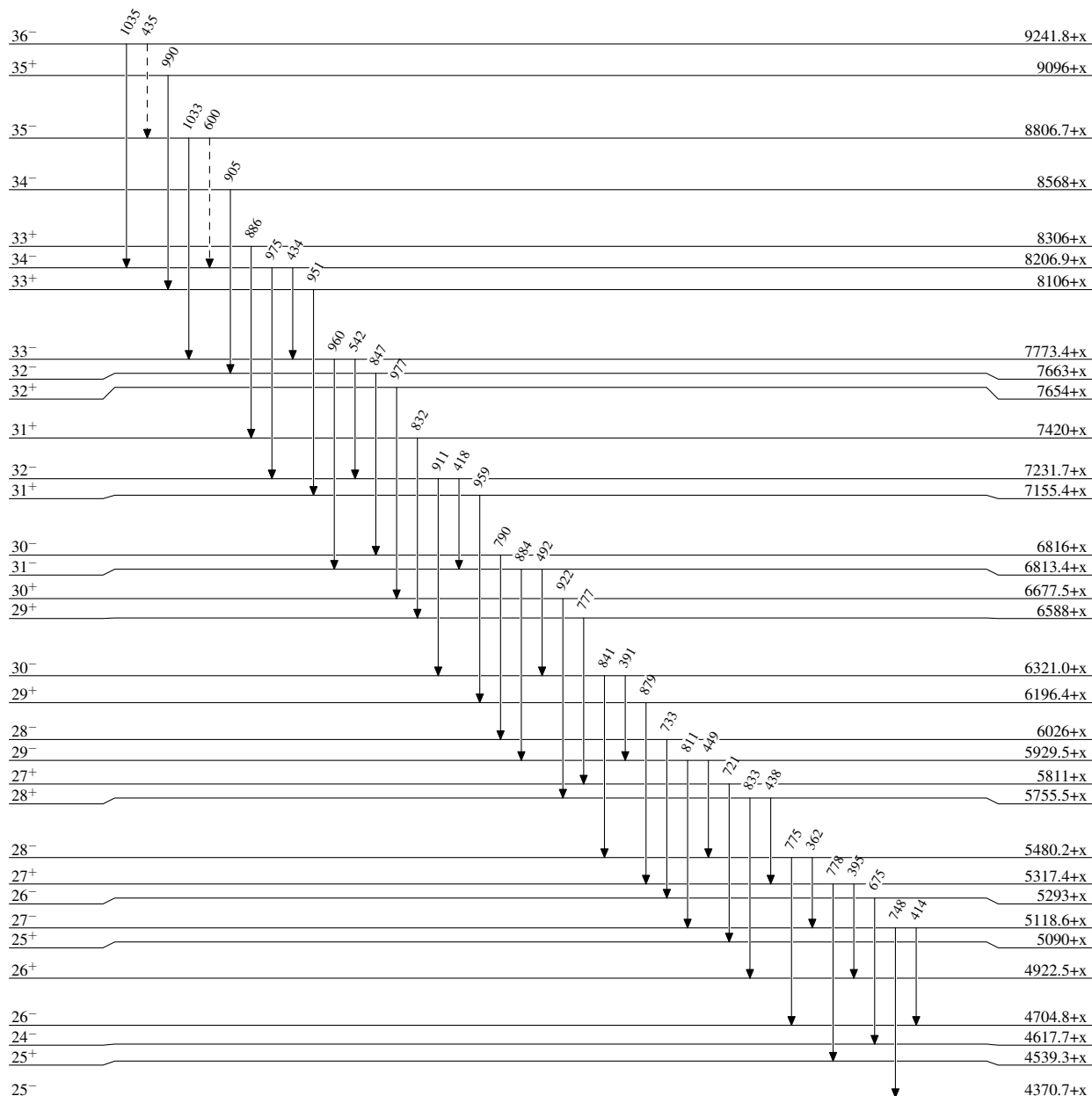
Level Scheme (continued)

-----▶  $\gamma$  Decay (Uncertain) $^{164}_{71}\text{Lu}_{93}$

$^{139}\text{La}(^{29}\text{Si},4n\gamma)$  1999To08

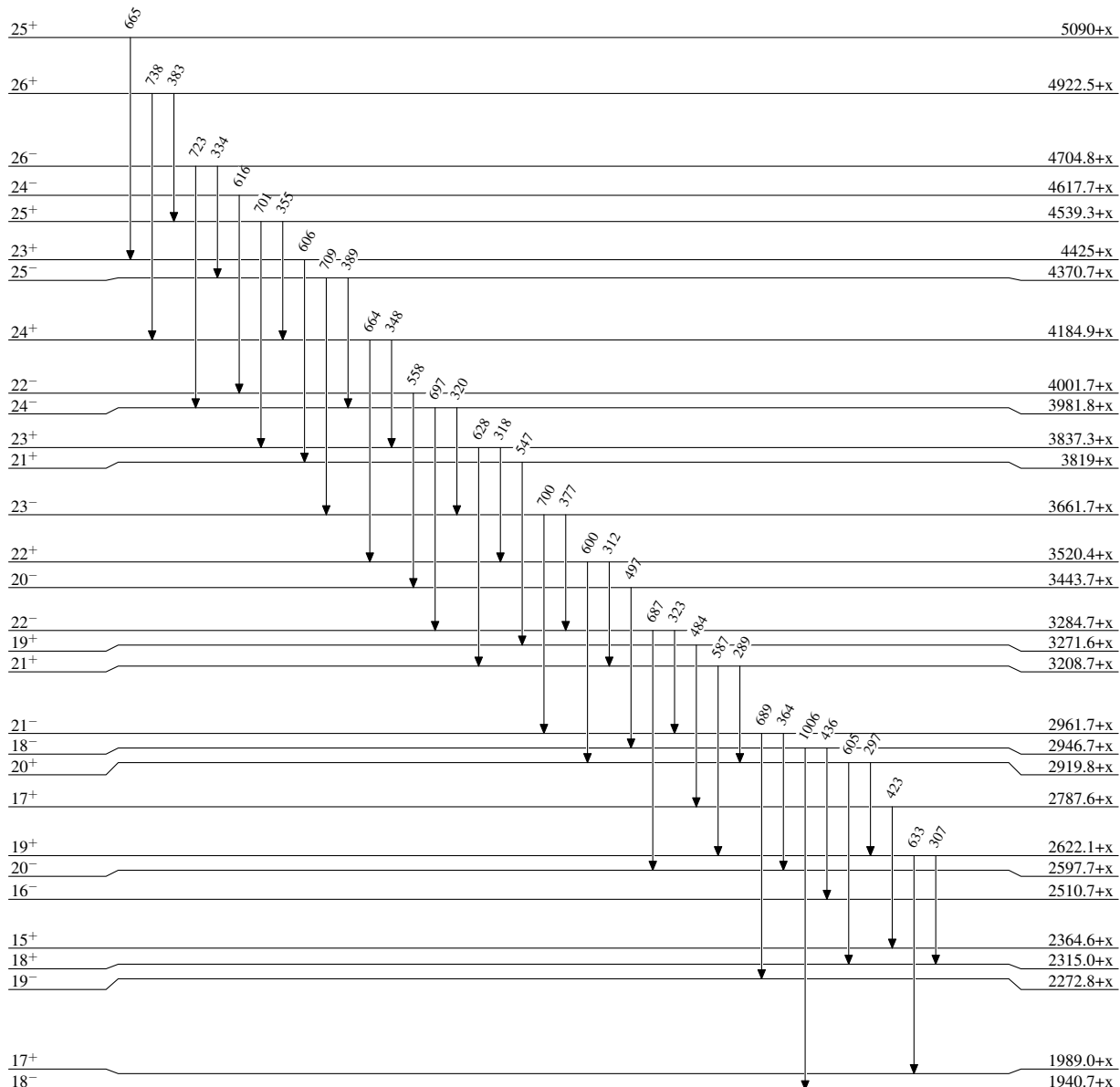
Legend

Level Scheme (continued)

-----►  $\gamma$  Decay (Uncertain) $^{164}_{71}\text{Lu}_{93}$

$^{139}\text{La}(^{29}\text{Si},4n\gamma)$  1999To08

## Level Scheme (continued)

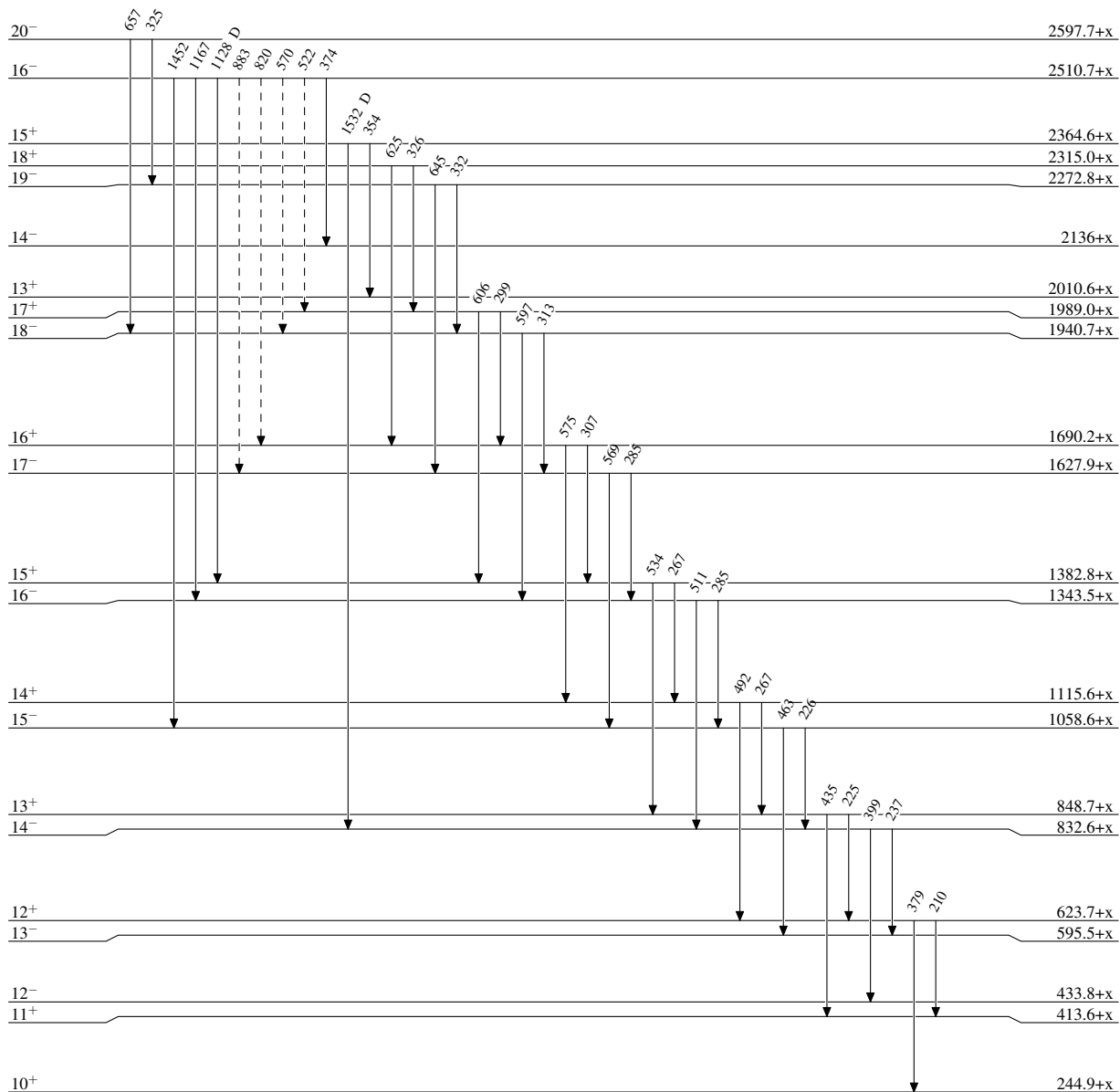
 $^{164}_{71}\text{Lu}_{93}$



$^{139}\text{La}(^{29}\text{Si},4n\gamma)$  1999To08

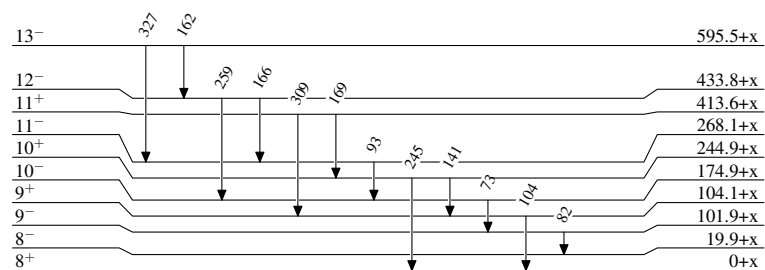
Legend

Level Scheme (continued)

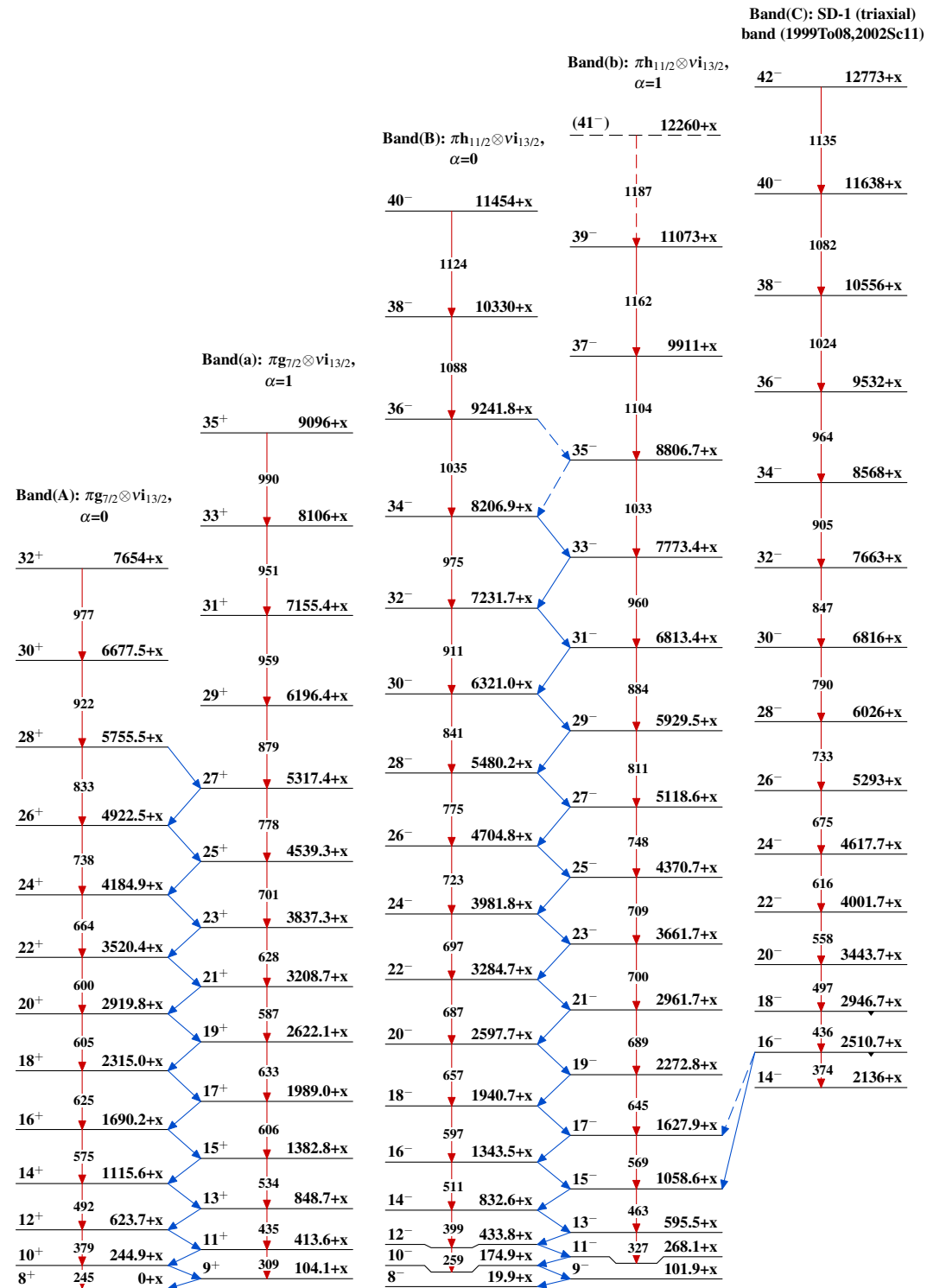
-----►  $\gamma$  Decay (Uncertain) $^{164}_{71}\text{Lu}_{93}$

$^{139}\text{La}(^{29}\text{Si},4n\gamma)$  1999To08

Level Scheme (continued)



$^{164}_{71}\text{Lu}_{93}$

$^{139}\text{La}(^{29}\text{Si},4n\gamma)$  1999To08

$^{139}\text{La}(^{29}\text{Si},4n\gamma)$  1999To08 (continued)

Band(D): SD-2 (triaxial) band (1999To08)			Band(E): SD-3 (triaxial) band (1999To08)			Band(F): SD-4 (triaxial) band (1999To08)			Band(G): SD-5 (triaxial) band (1999To08)		
J+26		11323+y	45 <sup>+</sup>		14766+x	J1+16		6617+z	J2+22		9284+u
J+24	1171	10152+y	43 <sup>+</sup>	1211	13555+x	J1+14	1005	5612+z	J2+20	1134	8150+u
J+22	1134	9018+y	41 <sup>+</sup>	1160	12395+x	J1+12	966	4646+z	J2+18	1082	7068+u
J+20	1089	7929+y	39 <sup>+</sup>	1104	11291+x	J1+10	913	3733+z	J2+16	1023	6045+u
J+18	1042	6887+y	37 <sup>+</sup>	1050	10241+x	J1+8	859	2874+z	J2+14	965	5080+u
J+16	991	5896+y	35 <sup>+</sup>	995	9246+x	J1+6	803	2071+z	J2+12	906	4174+u
J+14	937	4959+y	33 <sup>+</sup>	940	8306+x	J1+4	747	1324+z	J2+10	846	3328+u
J+12	882	4077+y	31 <sup>+</sup>	886	7420+x	J1+2	691	633+z	J2+8	786	2542+u
J+10	823	3254+y	29 <sup>+</sup>	832	6588+x	J1	633	z	J2+6	727	1815+u
J+8	764	2490+y	27 <sup>+</sup>	777	5811+x				J2+4	664	1151+u
J+6	705	1785+y	25 <sup>+</sup>	721	5090+x				J2+2	605	546.0+u
J+4	648	1137+y	23 <sup>+</sup>	665	4425+x				J2	546	u
J+2	600	537+y	21 <sup>+</sup>	606	3819+x						
J	537	y	19 <sup>+</sup>	547	3271.6+x						
			17 <sup>+</sup>	484	2787.6+x						
			15 <sup>+</sup>		2364.6+x						
			13 <sup>+</sup>		2010.6+x						

$^{139}\text{La}(^{29}\text{Si},4n\gamma)$  1999To08 (continued)

		<b>Band(J): SD-8 (triaxial) band (1999To08)</b>
		J5+10      4276+s
		↓ 976
		J5+8      3300+s
		↓ 918
		J5+6      2382+s
		↓ 856
		J5+4      1526+s
	<b>Band(I): SD-7 (triaxial) band (1999To08)</b>	↓ 794
		J5+2      732+s
		↓ 732
	J4+12      5374+w	J5      s
		↓ 1042
		J4+10      4332+w
		↓ 980
		J4+8      3352+w
		↓ 923
		J4+6      2429+w
		↓ 866
		J4+4      1563+w
		↓ 811
		J4+2      752+w
		↓ 752
	J4	w
<b>Band(H): SD-6 (triaxial) band (1999To08)</b>		
	J3+22      8713+v	
		↓ 1070
		J3+20      7643+v
		↓ 1011
		J3+18      6632+v
		↓ 956
		J3+16      5676+v
		↓ 901
		J3+14      4775+v
		↓ 847
		J3+12      3928+v
		↓ 794
		J3+10      3134+v
		↓ 741
		J3+8      2393+v
		↓ 685
		J3+6      1708+v
		↓ 628
		J3+4      1080+v
		↓ 569
		J3+2      511+v
		↓ 511
	J3	v